

## 円柱橋脚前面の流れパターンについて

京大防災研究所 正員 宇民 正

**[1] 概説** 橋脚前面に生じる局所的な渦は、橋脚周辺に発生する馬蹄型渦によることは既に指摘されている。本報告はこのような渦による洗掘の機構を明らかにするため、水路中心断面における流れパターンのモデルを設定することにより渦近傍の流速分布を求め、さらに実験的検討を加えたものである。

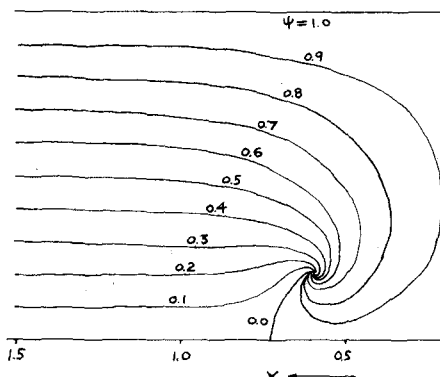
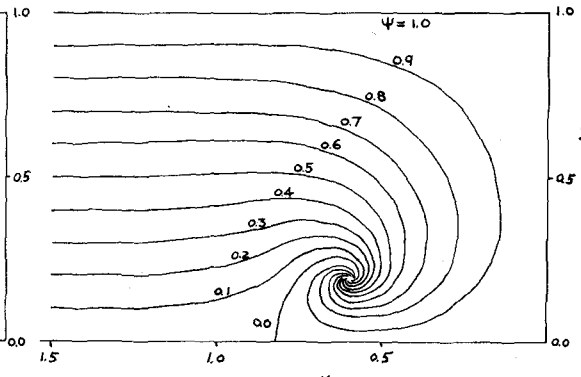
**[2] 流れパターンのモデル化とその検討** 水路中心断面において渦度の値も発散の値もともに渦軸に近づくにつれて増大する状態で分布するが、ここでは両者とともに渦軸の位置  $(x_0, y_0)$  に集約されそれ以外の軸では 0 であるとした。こうした場合、橋脚の存在による流れの三次元的な現象の影響は渦の強さに帰着されると考えられ、二次元ボテンシャル概念による解析が可能になる。渦軸における吸込の強さを  $m$ 、渦系の強さを  $K$ 、水深を  $\alpha$  とするとき、流れ関数  $\psi$  ならびに速度ボテンシャル  $\phi$  は次のようになる。

$$\begin{aligned}\psi &= (m/2\pi) \tan^{-1}(B/A) + (K/4\pi) \log(C^2 + D^2), \quad \phi = (m/4\pi) \log(A^2 + B^2) - (K/2\pi) \tan^{-1}(B/C) \\ z &= r, \quad A = a^2 \left\{ (\cosh \frac{x}{\alpha} \cos \frac{y}{\alpha} - \cosh \frac{x_0}{\alpha} \cos \frac{y_0}{\alpha})^2 - \sinh^2 \frac{x}{\alpha} \sin^2 \frac{y}{\alpha} + \sinh^2 \frac{x_0}{\alpha} \sin^2 \frac{y_0}{\alpha} \right\} \\ B &= 2a^2 (\cosh \frac{x}{\alpha} \cos \frac{y}{\alpha} - \cosh \frac{x_0}{\alpha} \cos \frac{y_0}{\alpha}) \sinh \frac{x}{\alpha} \sin \frac{y}{\alpha} \\ C &= \left\{ (\cosh \frac{x}{\alpha} \cos \frac{y}{\alpha} - \cosh \frac{x_0}{\alpha} \cos \frac{y_0}{\alpha})^2 + \sinh^2 \frac{x}{\alpha} \sin^2 \frac{y}{\alpha} - \sinh^2 \frac{x_0}{\alpha} \sin^2 \frac{y_0}{\alpha} \right\} / E \\ D &= -2 (\cosh \frac{x}{\alpha} \cos \frac{y}{\alpha} - \cosh \frac{x_0}{\alpha} \cos \frac{y_0}{\alpha})^2 \sinh \frac{x_0}{\alpha} \sin \frac{y_0}{\alpha} / E \\ E &= (\cosh \frac{x}{\alpha} \cos \frac{y}{\alpha} - \cosh \frac{x_0}{\alpha} \cos \frac{y_0}{\alpha})^2 + (\sinh \frac{x}{\alpha} \sin \frac{y}{\alpha} + \sinh \frac{x_0}{\alpha} \sin \frac{y_0}{\alpha})^2\end{aligned}$$

である。上式から水面と河底面における流速  $U_s, U_b$ 、および橋脚前面に沿う鉛直方向の流速  $V_s$  はそれぞれ次のように求められる。

$$\begin{aligned}U_s &= (-1/\alpha \pi E) \sinh \frac{x}{\alpha} (m \cosh \frac{x}{\alpha} + m \cosh \frac{x_0}{\alpha} \cos \frac{y_0}{\alpha} + K \sinh \frac{x_0}{\alpha} \sin \frac{y_0}{\alpha}) \\ U_b &= (-1/\alpha \pi E) \sinh \frac{x}{\alpha} (m \cosh \frac{x}{\alpha} - m \cosh \frac{x_0}{\alpha} \cos \frac{y_0}{\alpha} - K \sinh \frac{x_0}{\alpha} \sin \frac{y_0}{\alpha}) \\ V_s &= (1/\alpha \pi E) \sin \frac{y}{\alpha} (m \cos \frac{y}{\alpha} - m \cosh \frac{x_0}{\alpha} \cos \frac{y_0}{\alpha} - K \sinh \frac{x_0}{\alpha} \sin \frac{y_0}{\alpha})\end{aligned}$$

ここで、 $(x_0, y_0)$  の値として実験でえられた値を用い、 $K/m = 1.0$  および  $m = 2.0$  の場合について上式から計算した流れパターンと、実験的にえられたものとを比較してみた。図-1 が計算結果

図-1 (a) 流れパターンの計算 ( $K=1, m=1$ )図-1 (b) 流れパターンの計算 ( $K=2, m=1$ )

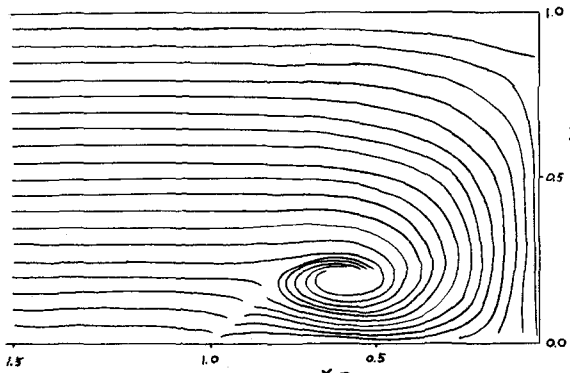


図-2 流れパターン(実測)

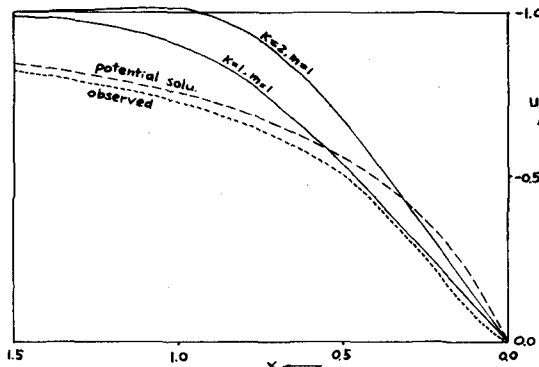


図-3 表面流速

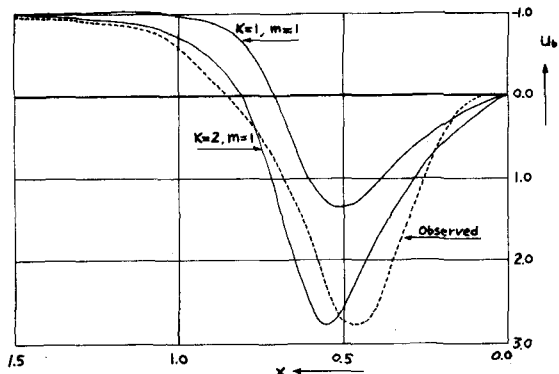


図-4 水路底面流速

果であり、図-2が実験結果である。両者の差異は主として渦度ならびに発散を渦軸の位置に集約させた所によると考えられる。図-3は表面流速  $u_s$ について解析値と実験値とを比較したものである。この図から、上と同じ理由により渦から離れた下流では上記モデルによるより円柱周辺のポテンシャル角解の方が適合することと認められるが、渦の近傍では計算値と実験値はよく適合することが認められる。図-4は水路底面における流速分布について計算値と実験値とを比較したものである。ただし実験値については水路底面においては一律に0となるので、 $y=0$ における値をそろ高さにおける接近流速で無次元化したもの用いている。流速の増減の状態、すくい点の位置について、 $K=2$ の場合の計算値と実験値がよく合っていることが認められる。

つまに、図-5は橋脚前面における流速  $v_x$  の分布を示している。ここで実験値は、上と同じ理由に基づき、 $x=0.1$ での値を水面における接近流速で無次元化したもの用いている。この図についても、 $K=2$ の時計算値と実験値が適合は、とくに渦近傍でよいことが認められる。

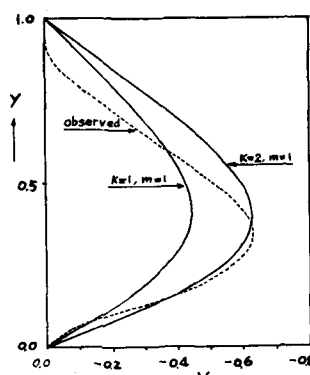


図-5 橋脚前面における鉛直方向流速

**③ 結論** 固定床上に設置された橋脚の前面の流れパターンを水路中心断面においてモデル設定のもとに解析した。モデルとしては各種の仮定を含んでいいが、計算結果と実験結果を比較したところ渦の近傍では両者の適合性はよく、橋脚前面のはくり、逆流、下向き流れを数量的に把握する展望をえた。渦軸中心の位置、 $K$ の値を解析的に求めめるのが今後の課題である。末筆になりますが、本報告作成にあたり石垣守雄防災研教授の有益な御助言をいただいたことに謝意を表します。